

# 木曽川水系連絡導水路事業監理検討会（第7回）

## 資料

平成21年8月7日

独立行政法人水資源機構  
中部支社

## 資料－1

### 木曽川水系連絡導水路事業公開討論会 開催概要について

平成 21 年 8 月 2 日（日）14:00～16:50  
名古屋市公館 1 階 レセプションホール

#### 【参 加 者】

討 論 者	[必要論] 松尾直規中部大学教授、小尻利治京都大学教授 [不要論] 伊藤達也法政大学教授、富樫幸一岐阜大学教授
一般参加者	当日参加 90 名（公募・抽選による当選 100 名）
関 係 者	行政機関(14)、水源地域(2)、農業用水関係(9)、 堀川 1000 人調査隊(2)、経済団体(3) <u>計 30 名</u>
公 職 者	15 名
討 論 司 会	名古屋市長
コーディネーター	井澤 知旦 氏（株都市研究所スペーシア）

#### 【討論概要】

事業概要説明	連絡導水路事業の概要説明（上下水道局）
専 門 家 討 論	専門家による意見 <ul style="list-style-type: none"><li>・不要論（伊藤教授）</li><li>・必要論（松尾教授）</li><li>・名古屋市の水需要（富樫教授）</li><li>・将来の木曽川の流況（小尻教授）</li><li>・不要論代表（伊藤教授）</li><li>・必要論代表（松尾教授）</li><li>・追加意見（各専門家）</li></ul>
関 係 者 意 見	農業用水関係、堀川 1000 人調査隊、愛知県
一般参加者意見	7 名
市 長 総 括	

**資料－2**

木曽川水系連絡導水路事業公開討論会配付資料

# 木曽川水系連絡導水路事業公開討論会

## ご参加にあたってのお願い

会場内では次の事項を遵守くださいますようよろしく  
お願ひいたします。

○名古屋市公館の敷地内は全面禁煙となっております。

○会場内の飲食はご遠慮ください。

○次の行為につきましては運営に支障を生じますので、ご遠慮  
くださいますようお願ひいたします。

- ・討論中の携帯電話のご使用
- ・写真撮影、ビデオ撮影、録音等、記録機器のご使用
- ・討論中に私語や談論等をする行為
- ・討論中に会場内をみだりに立ち歩いたり出入りする行為
- ・敷地内でのビラの配布、横断幕の掲示等をする行為

※以上の事項を遵守いただけない場合、退場していただく  
場合がありますのでご了承ください。

討論会の記録のため、音声・映像等の録音・撮影を行いま  
すのでご了承ください。

## 木曽川水系連絡導水路事業 公開討論会

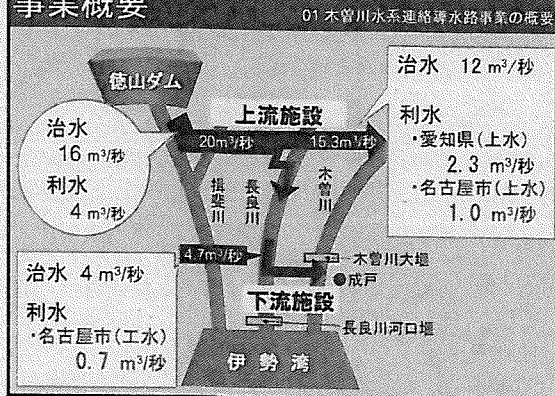
平成21年8月2日  
名古屋市 上下水道局

### 名古屋市水道の水源



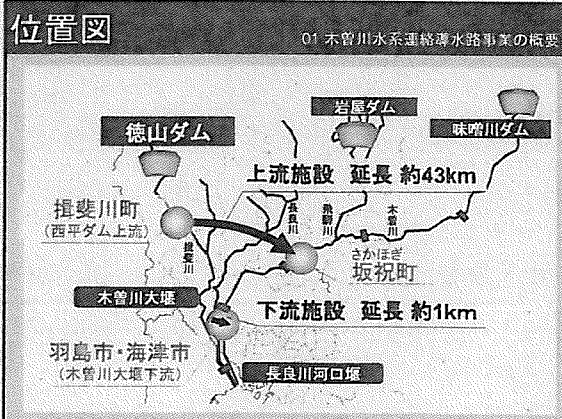
## 01 木曽川水系 連絡導水路事業の概要

### 事業概要



### 位置図

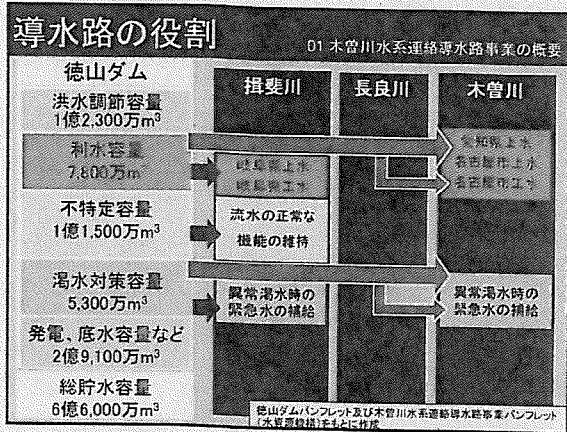
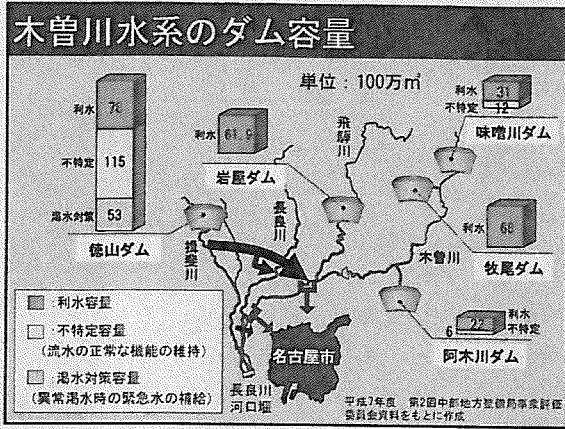
01 木曽川水系連絡導水路事業の概要



### 事業の諸元

01 木曽川水系連絡導水路事業の概要

目的	治水 木曽川の治水対策 長良川の河川環境改善 } 16m <sup>3</sup> /秒を導水
	利水 愛知県・名古屋市へ都市用水4.0 m <sup>3</sup> /秒を導水
ルート	(上流施設) 岐阜県揖斐川町～岐阜県坂祝町 (下流施設) 長良川～木曽川大堰直下へ放流予定
導水量	(上流施設) 揖斐川～長良川 20.0 m <sup>3</sup> /秒 長良川～木曽川 15.3 m <sup>3</sup> /秒 (下流施設) 長良川～木曽川 4.7 m <sup>3</sup> /秒
工期	平成27年度まで
事業費	890億円
名古屋市 負担額	121億円 (国からの補助金39億円を除くと82億円)

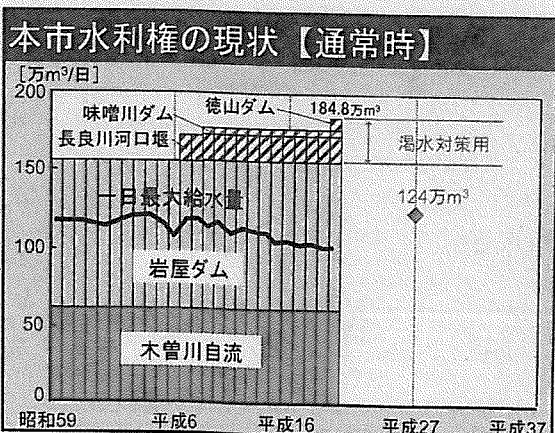
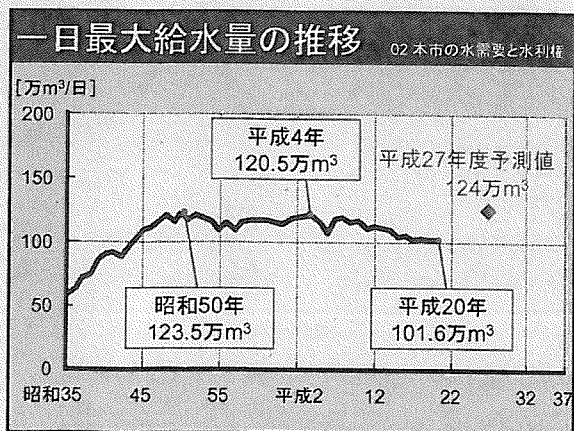


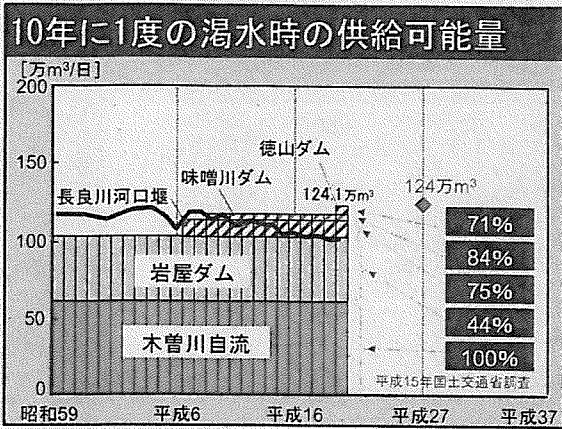
**主な経緯**

01 木曽川水系連絡導水路事業の概要

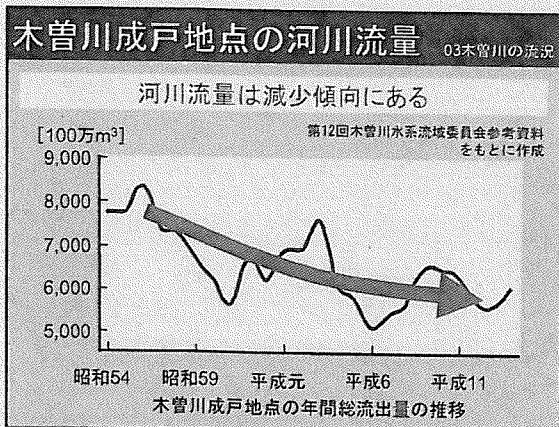
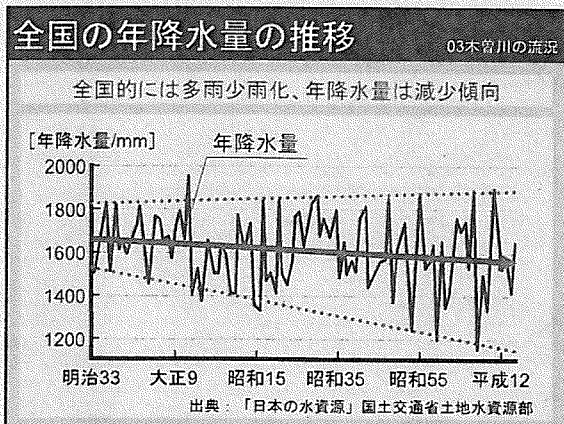
昭和48年	水資源開発基本計画（フルプラン）閣議決定
平成12年	徳山ダムの本体工事に着手
16年	フルプランの全部変更 閣議決定
18年	徳山ダムの試験湛水開始（平成20年5月完了）
導水路事業の実施計画調査 開始	
20年 5月	徳山ダムの運用開始
6月	フルプランの一部変更（導水路事業を追加）
8月	導水路に関する事業実施計画、費用負担について、三県一市は協議及び同意
8月	導水路に関する事業実施計画の認可
9月	導水路事業を国から水資源機構へ承継 諸調査（水理、環境、設計等）を実施

## 02 本市の水需要と水利権

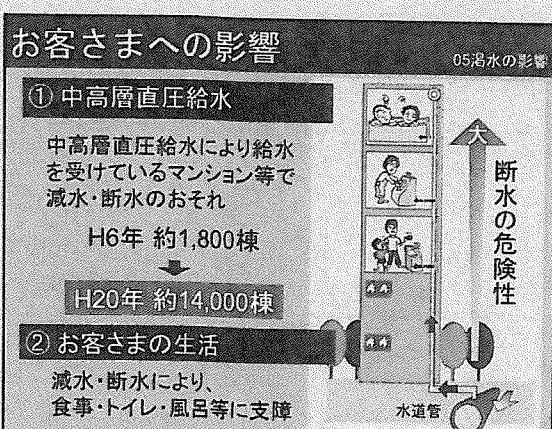
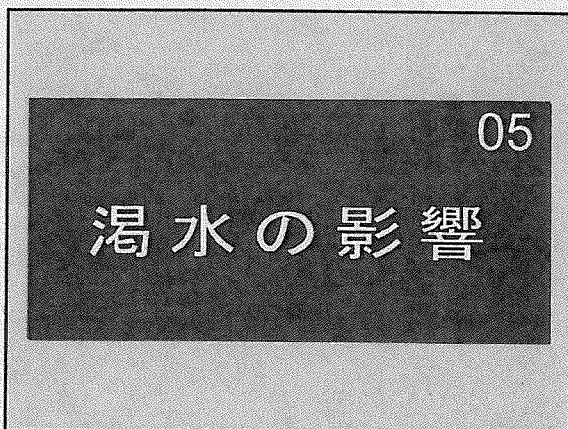
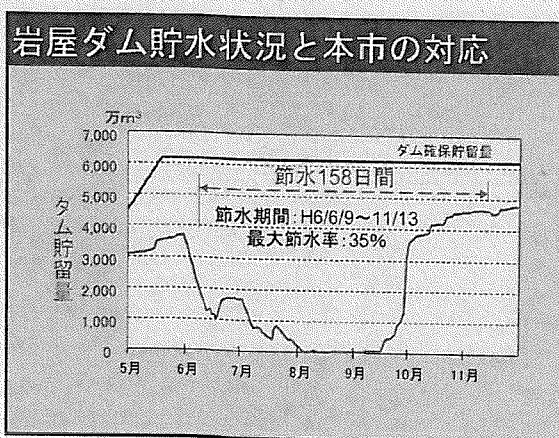
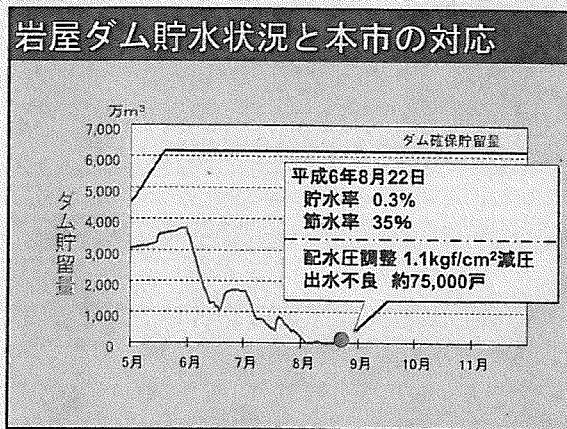
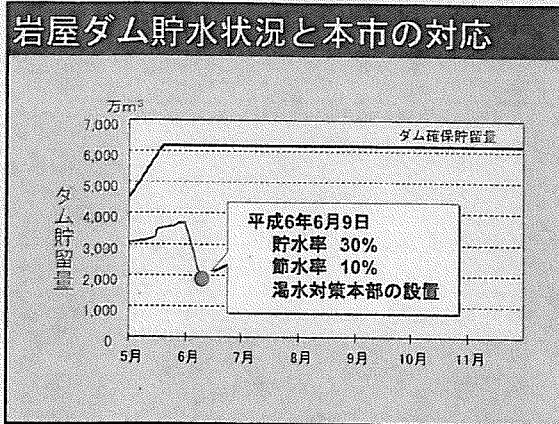




## 03 木曽川の流況



## 04 平成6年渇水の状況



**お客様への影響**

05渇水の影響

**③ 医療活動への影響**

救急病院、透析医療機関等では、減水・断水により  
→ 医療活動に支障が生じるおそれ

**④ 消火活動への影響**

減水・断水により  
→ 消火活動に支障が生じるおそれ

人工透析のイメージ  
消火活動のイメージ

**産業、経済への影響**

05渇水の影響

**① 経済活動への影響**

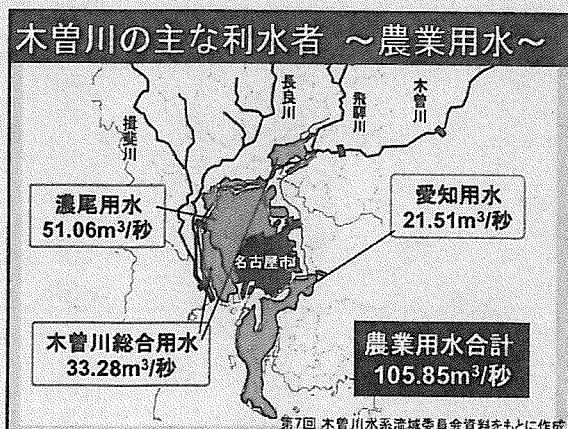
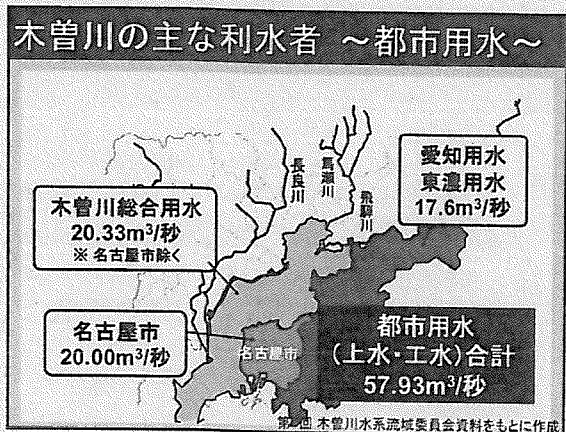
減水・断水により  
・企業の業務停滯  
・工場の生産調整・操業停止等  
→ 都市機能が低下するおそれ

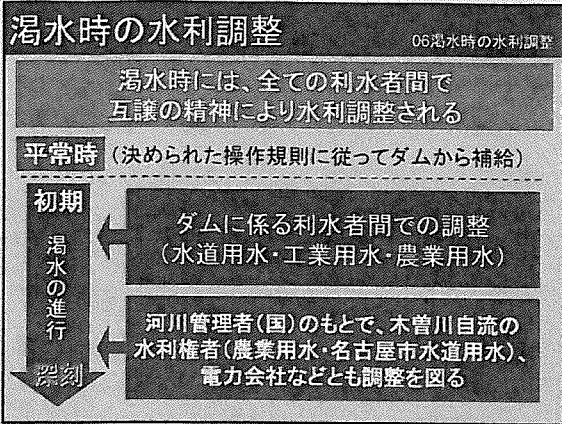
**② 企業誘致への影響**

断水の頻発する都市では、  
・水を多量に使用する企業が進出を控え  
・他都市へ工場移転する可能性あり  
→ 都市の魅力が低下するおそれ

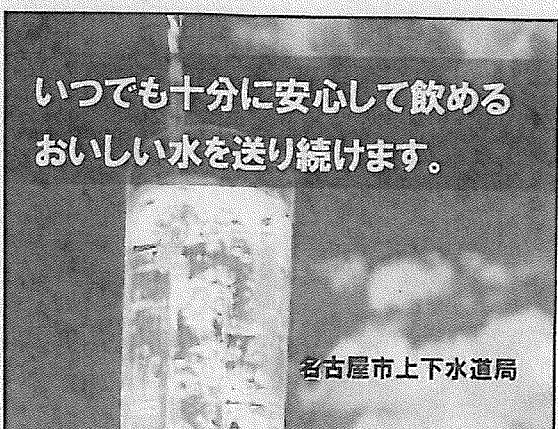
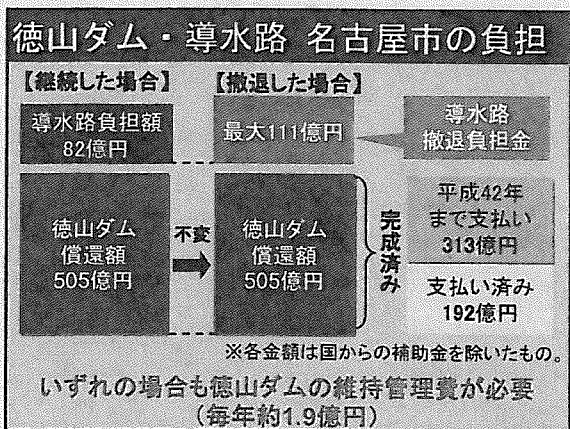
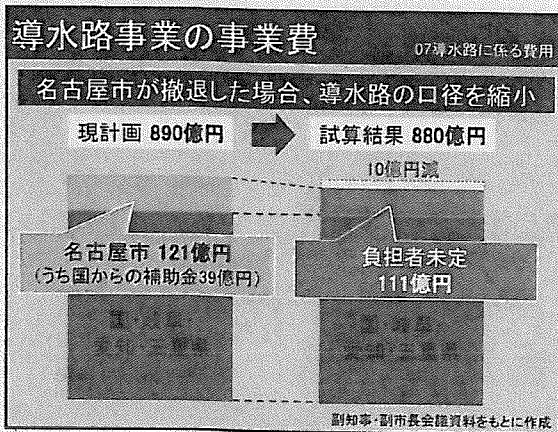
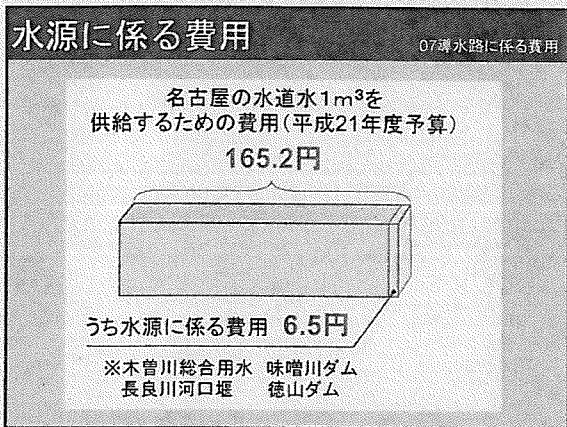
06

## 渇水時の水利調整





## 07 導水路に係る費用



平成21年8月2日

# 富樺幸一教授の主張

# 木曽川水系連絡導水路事業公開討論会

2009年8月2日

富権幸一（岐阜大学地質科学部）

## 02 名古屋市の水需要と水利権

■名古屋市の水需要予測は実績と整合しない過大な予測

■給水用の専用施設の拡張は、1980年で見直された。  
河口堰、徳山ダム、導水路は不必要的事業である。

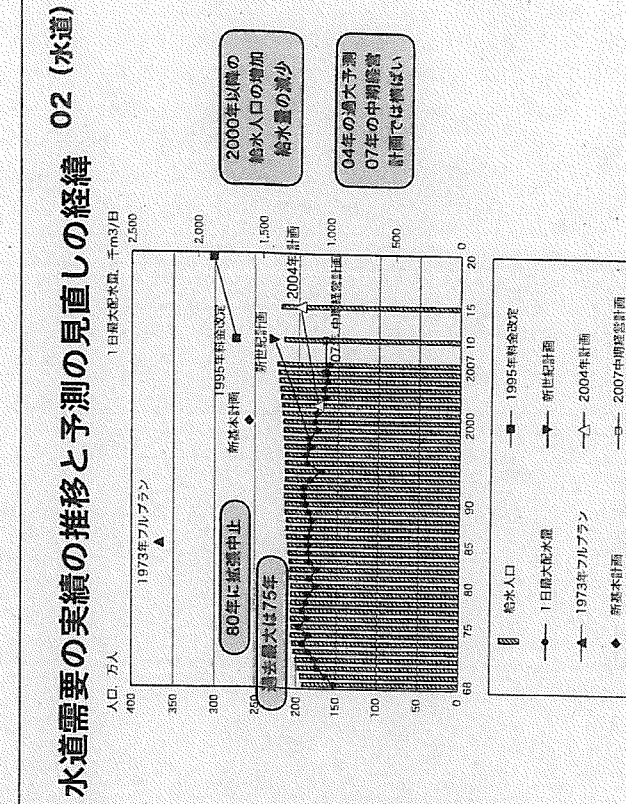
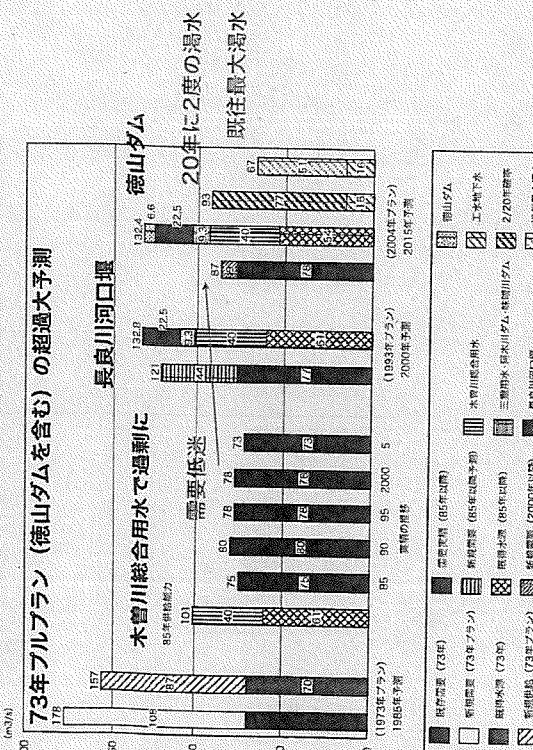
■工業用水需要は減少から横ばいで、増加予測は誤り。  
市営工業用水道の既存の水源で対応できる。

## 07 導水路に係る費用

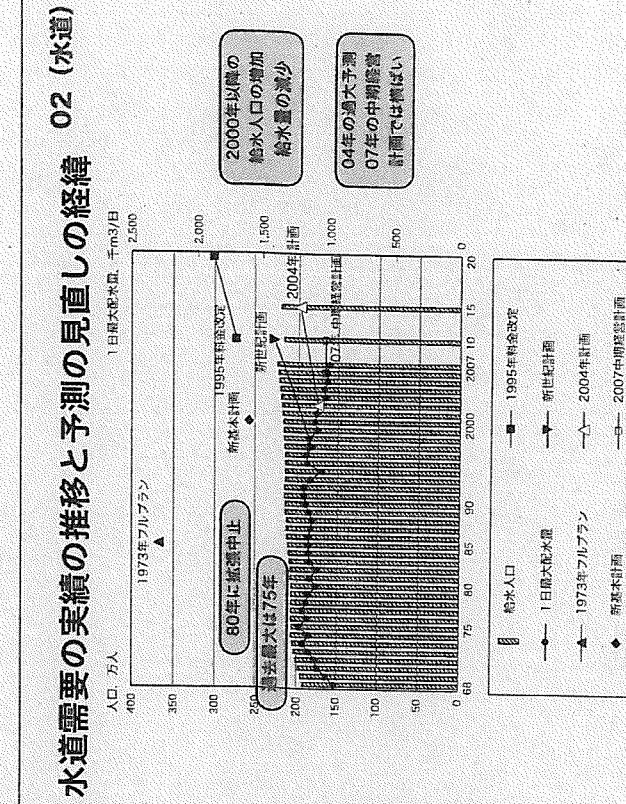
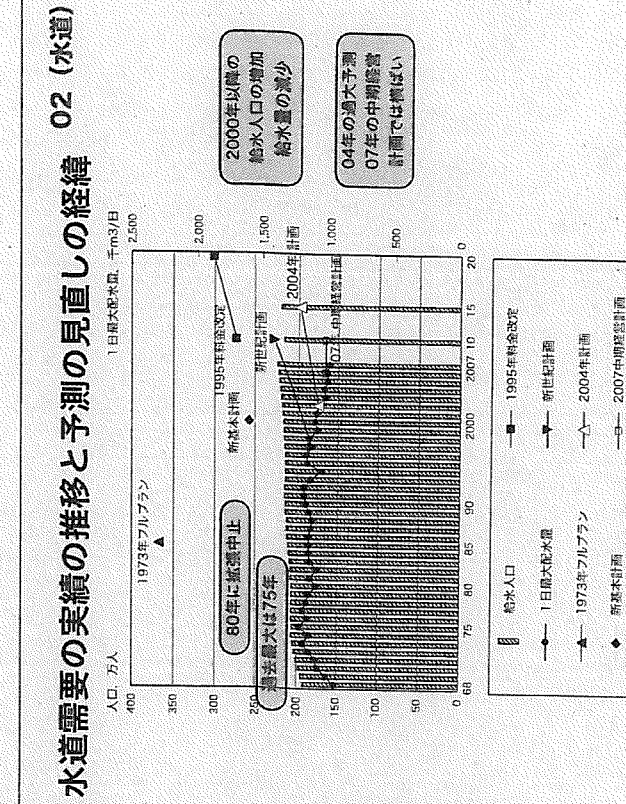
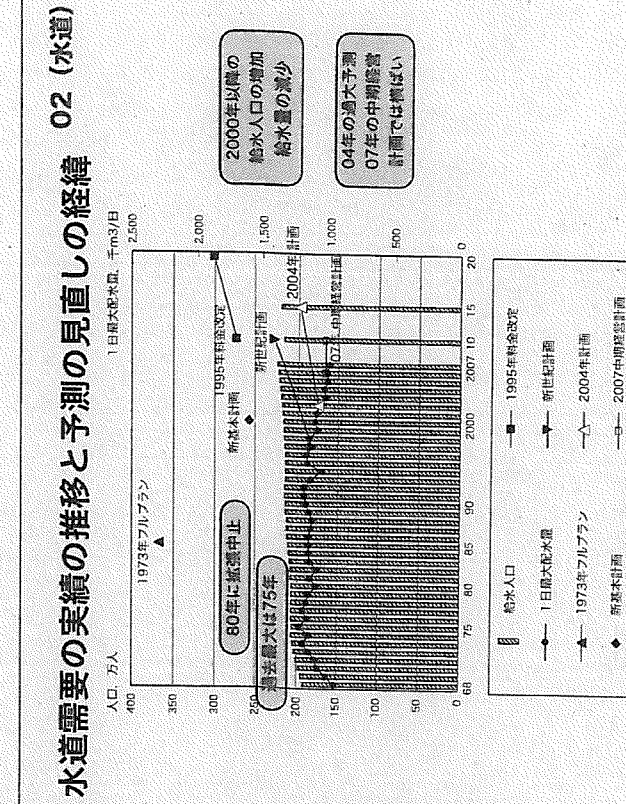
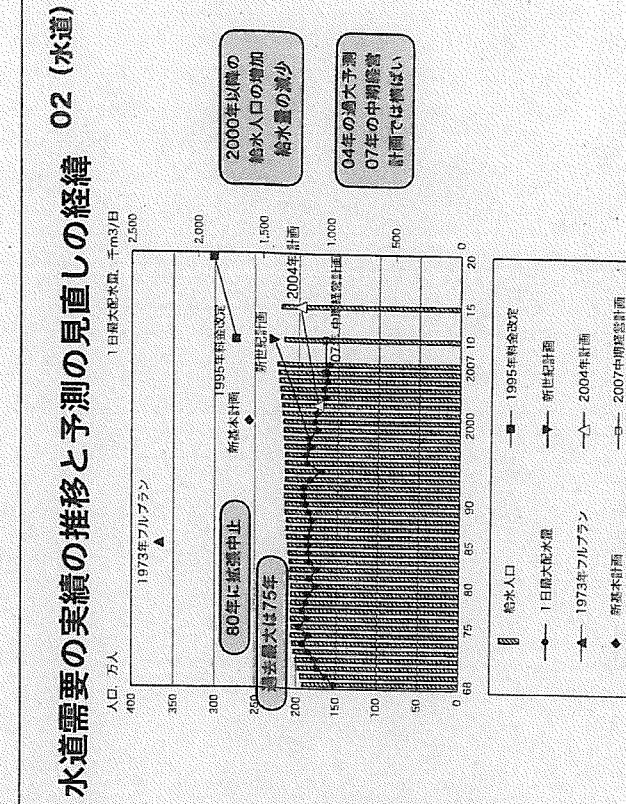
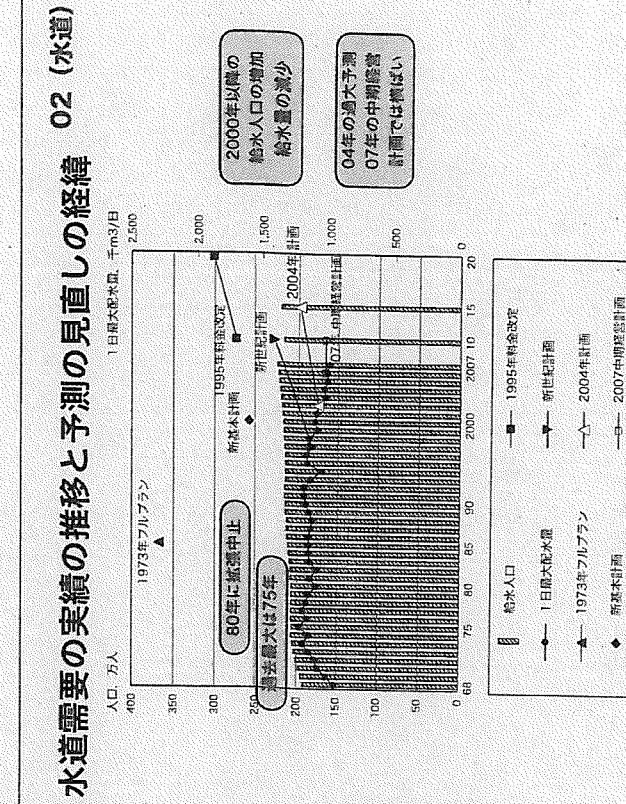
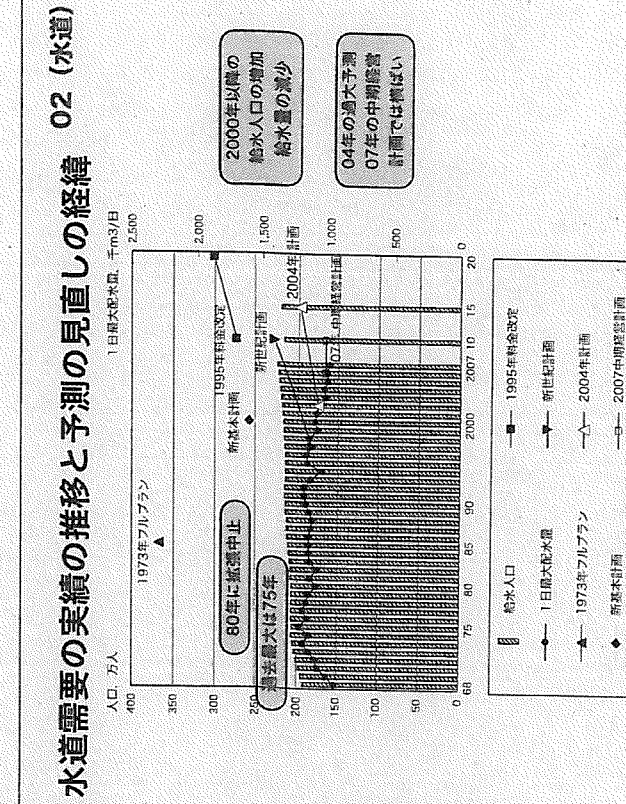
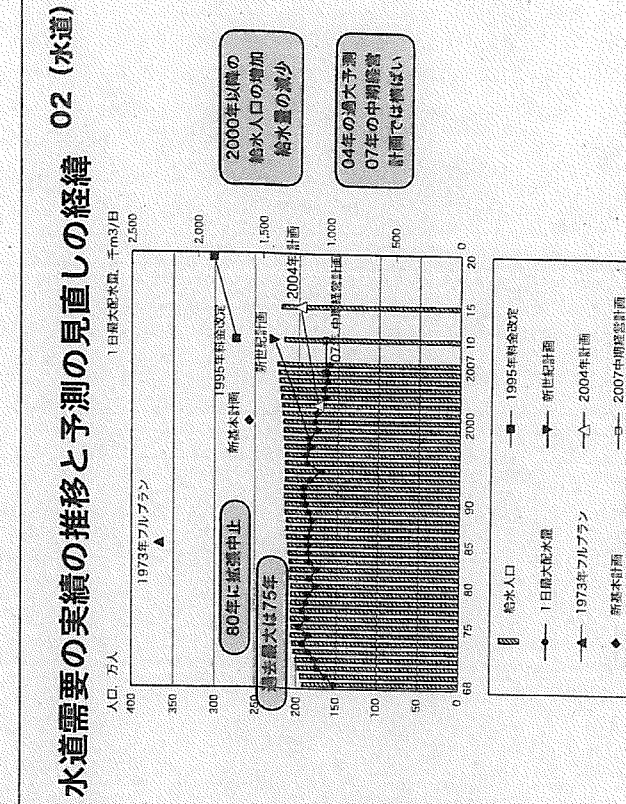
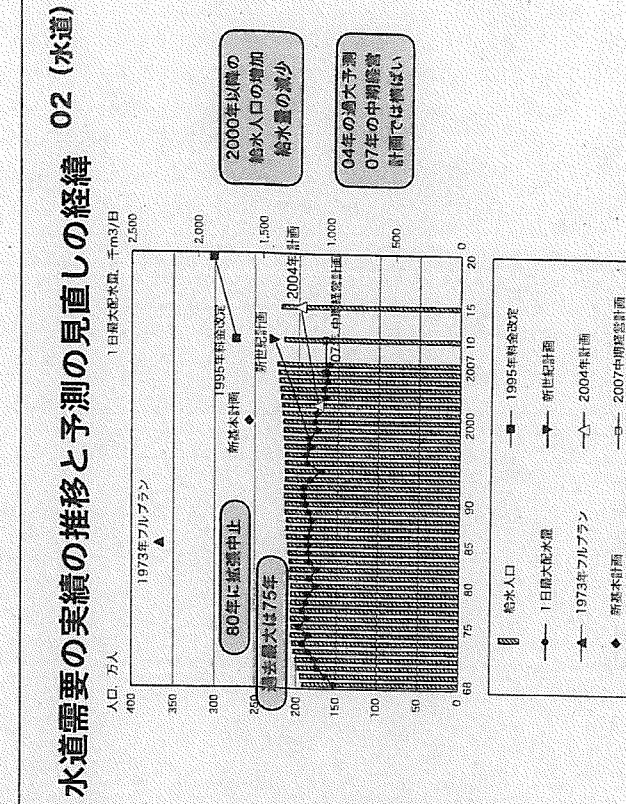
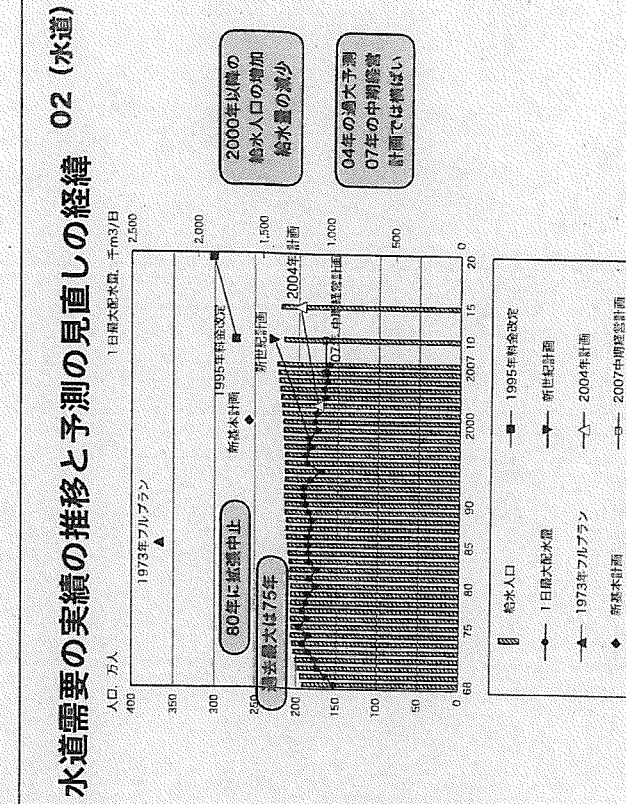
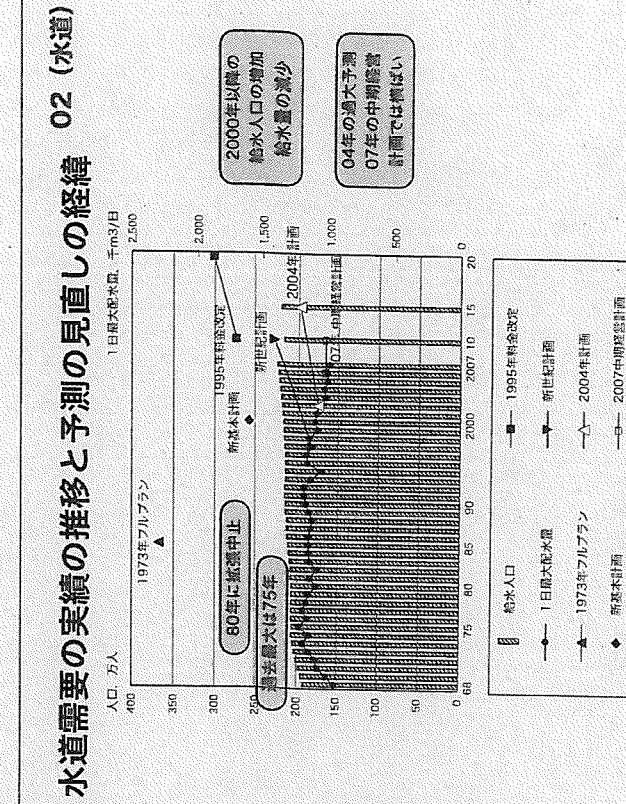
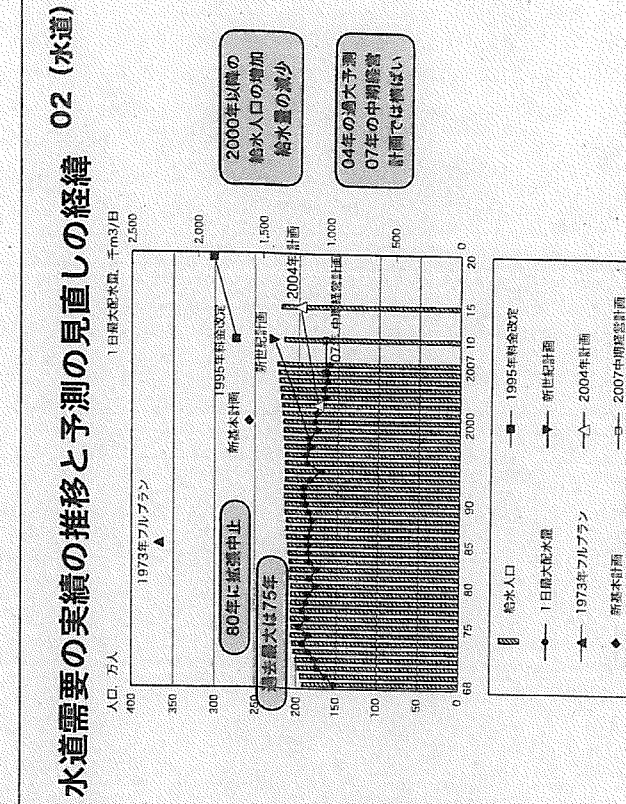
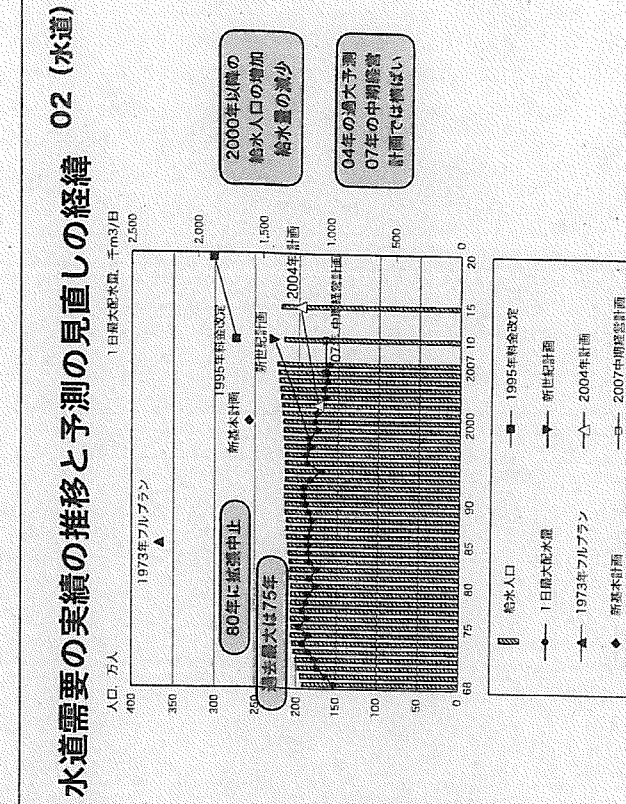
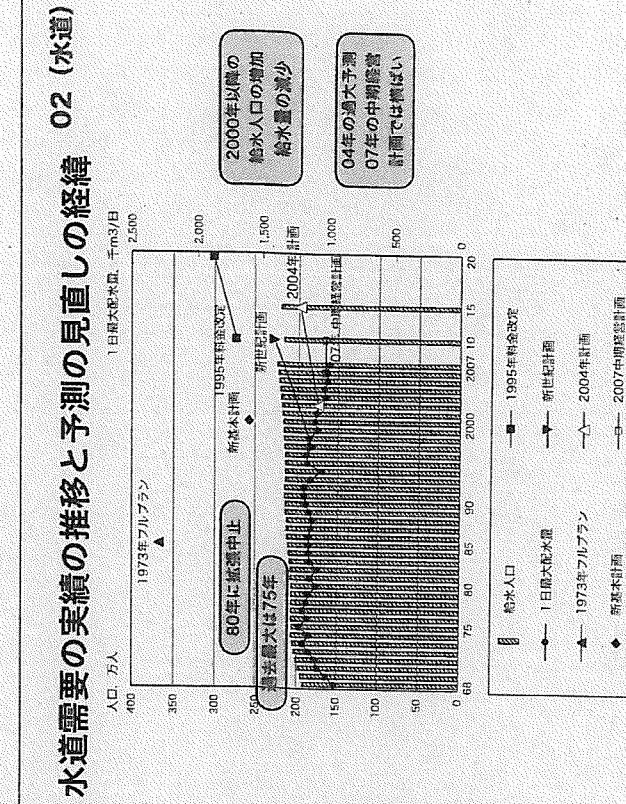
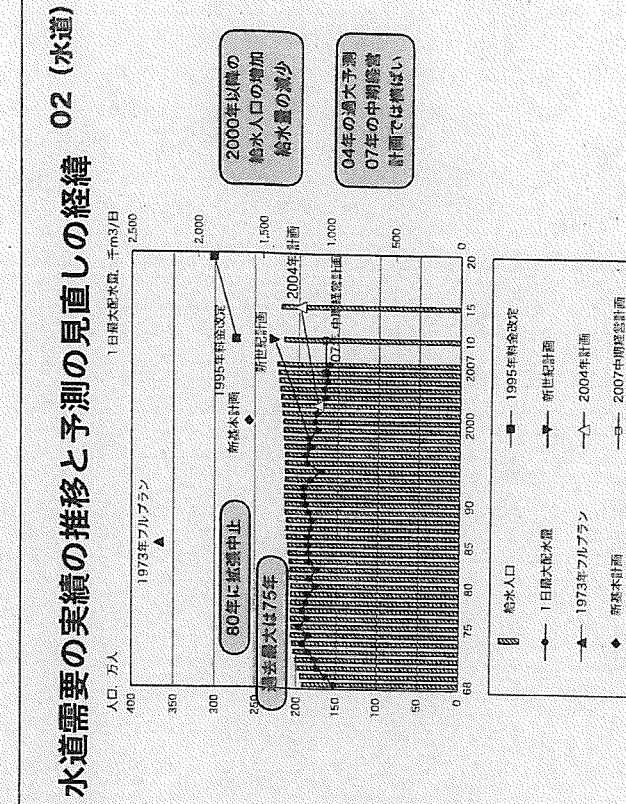
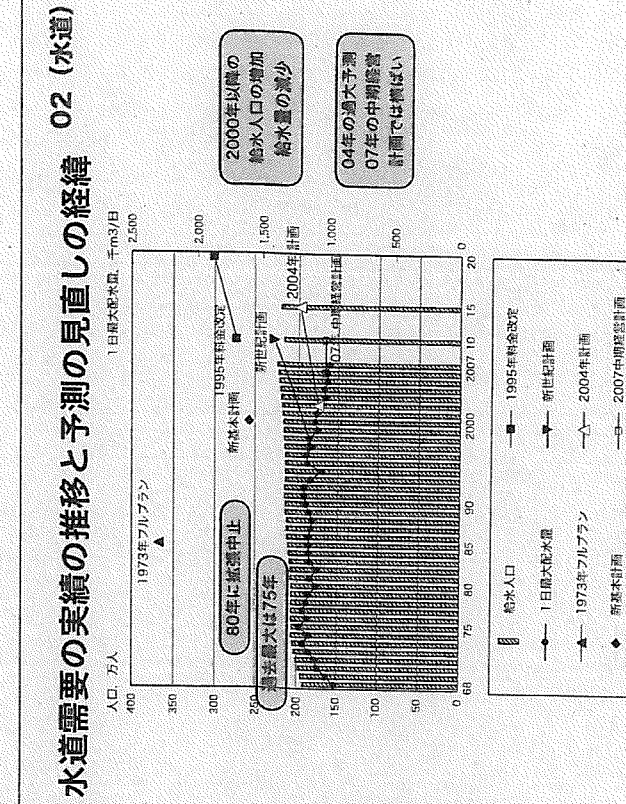
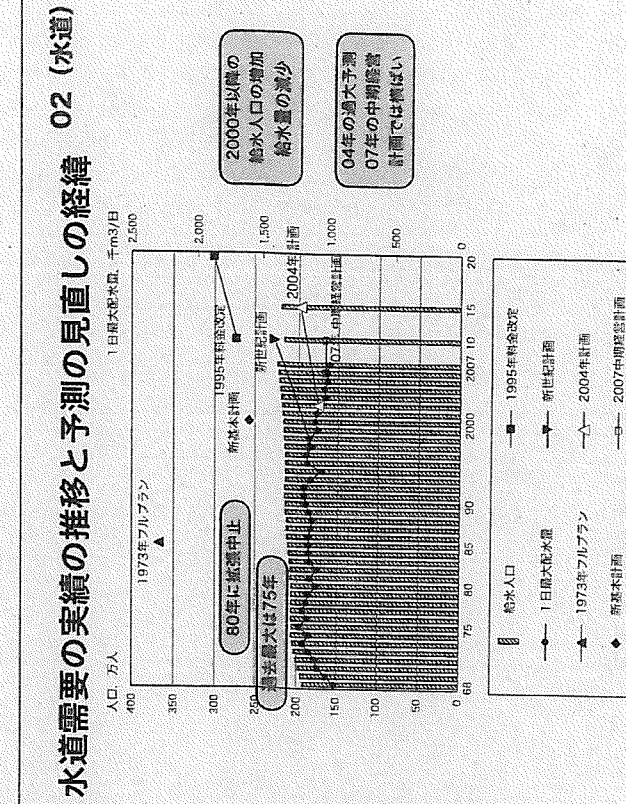
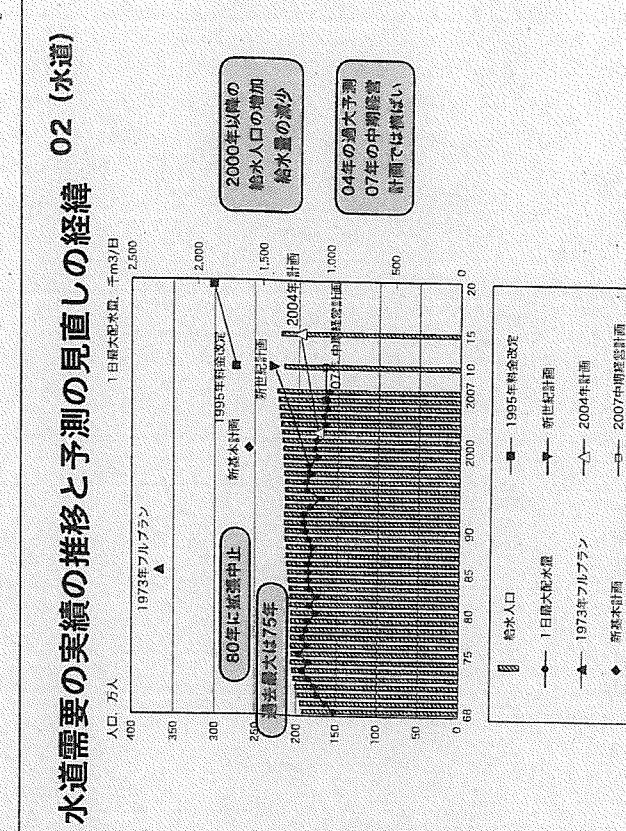
■人口減少社会、財政制約に対応した水道事業の見直しが必要である。

■便益を欠いており、水道事業や市財政に負担となる連絡導水路事業から、名古屋市は撤退すべき。

## 02 木曽川水系フルプランの 都市用水需要予測と供給施設(68) - 73-93-04

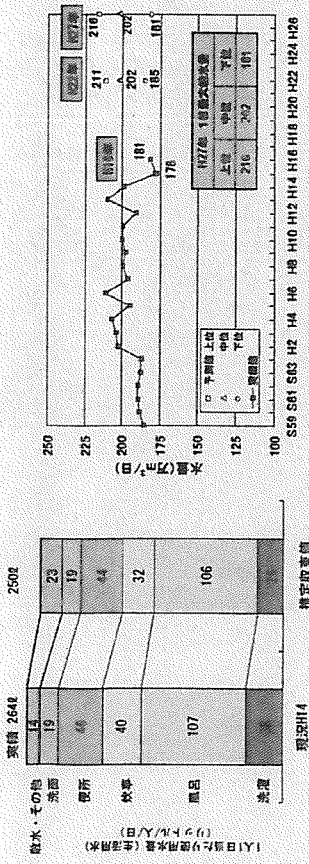


資料：名古屋市統計書、2004年フルプラン需給想定調査・名古屋市、中期経営計画  
「名古屋市新世紀計画2010計画案について」（経済水道委員会説明資料、2000年7月）



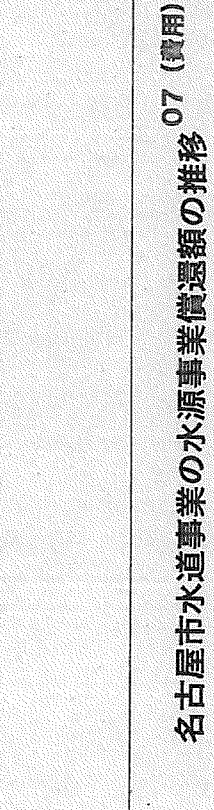


大阪府水道用事業の水需要予測結果  
(平成17年(2005年)3月 大阪府道部)より



- 名古屋市、愛知県とも専用施設を拡張しない  
～新規の水利権は許可されない、普段は使えない水  
10年に1度以上の湯水調整の1、2ヶ月のためだけに？
- 河口堰の水は安定水利権（注：専用施設がない）ため、  
岩屋ダムの安全度向上分としてしか使えません」  
(徳山ダム～導水路も同じこと)

(徳山ダムに係る導水路検討会幹事会 第11回 平成19年3月2日)



資料：名古屋市議会 路經濟水道委員会資料などより作製。  
木曾川総合用水の償還が終了し、徳山ダム、導水路（未記入）の償還金を払える。  
水道では水源費の割合は小さいとはいえない。ムダな支出であることは明確

## 『水資源白書（平成19年度版）』

- 水需要は横ばい若しくは減少の傾向となり、また水資源開発施設の整備が進んだことも相まって、水需給の乖離が縮小しつつある。このような中で、気候変動等の新たなリスク要因が加わり、高まりつつある渇水リスクに対し、これまでの水源開発による量的な充足を優先する方策から、限られた水資源を有効に利用する総合的なマネジメントへ、今まで以上に一層政策の重点を転換していくことが必要である」(p.17)

## 徳山ダムのアロケーションの推移（億円、%） 07（費用）

	名古屋市水道3m/sの撤退時			約100億円の増額		
	1989年アロケーション	1998年アロケーション	89-98増減	2004年アロケーション	98-04増減	90-00増減
合計	2,540	100	2,540	3,500	100	960
計	978	38.5	1128	44.4	150	2,024
国	685	27.0	789	31.1	104	1,416
岐阜県	237	9.3	251	9.9	14	438
愛知県	183	7.2	25	1.0	25	68
三重県	57	2.2	62	2.4	5	101
計	721	38.4	572	22.5	-149	619
国	240	9.4	191	7.5	-19	207
岐阜県	69	2.7	69	2.7	0	84
愛知県	183	7.2	183	7.2	0	189
名古屋市	229	9.0	129	5.1	-100	110
上水	363	14.3	363	14.3	0	368
計	109	4.3	109	4.3	0	110
岐阜県	197	7.8	197	7.8	0	191
名古屋市	57	2.2	57	2.2	0	66
逆電	478	18.8	478	18.8	0	490

資料：国土交通省中部地方整備局。  
宮野雄一研究室「徳山ダムを考える」岐阜大学地域科学部, 2004年

## 07 (費用)

### 費用負担割合

8月22日提示書

### 「撤退リール」(独立行政法人水資源機構法施行令) 07 (費用)

### 第三十条 (水道等負担金及び水道等撤退負担金) (内は注記)

- 治水(河川環境改善)と利水の割り振りは「分離費用負担り妥当支出法」による。
- 治水の水資源別負担割合は徳山ダムの漏水対策費の地方間負担割合と同じ割合。
- 利水の利水者間負担割合は導水量比による。

事業名	施設区分	費用	用途別	国	岐阜県	愛知県	三重県	名古屋市
木曾川水系運輸 水路	上流施設	880.0億円	利水	70.0%	17.0%	75.5%	7.5%	30.0%
				402.2億円	26.3億円	130.2億円	12.9億円	35.0%
	下流施設	1.0億円	利水	70.0%	17.0%	75.5%	7.5%	30.0%
				6.0億円	0.4億円	1.9億円	0.2億円	100.0%
合計		880.0億円	利水	45.9%	3.3%	14.8%	1.5%	13.6%
				406.2億円	26.1億円	132.1億円	3.1億円	34.0%

※実際の費用負担額は費用全体に各負担割合を乗じて算出されるため、上表の値と異なる。

※名古屋市工業用水が飲水するため、別途税額(4.5億円)がある。

木曾川水系流域委員会第7回資料より  
(利水には国からの補助金を含む)

導水路建設事業一-27

- 2 水資源開発施設の新築又は改築に関する事業が縮小された場合（略）において、水道又は工業用水道の用途に係る部分を縮小した者（名古屋市）の水道等負担金の額は、前項の規定にかかるらず、同項の規定により算出した額に、次の各号に掲げる場合の区分に応じて、当該各号に定める額を加えた額とし、法第二十五条第一項の規定により事業からの撤退をした者が当該水資源開発施設の新築又は改築につき負担する負担金（以下「水道等撤退負担金」という。）の額は、次の各号に掲げる場合の区分に応じて、当該各号に定める額とする。ただし、これらにより算出することが著しく公平を欠くと認められるときは、主務大臣が関係行政機関の長と協議して定める方法により算出しえどすることができる。
- 水道若しくは工業用水道の用途に係る部分の縮小又は事業からの撤退のみがあつた場合イ又は口に掲げる額とハに掲げる額とを合算した額及びその額に対応する前条の利息の額
- ハ 水道等共同施設の新築又は改築に関する事業が縮小された場合にあつては、次に掲げる額を合算した額（略）

(1) 当該事業の縮小に係る不要支出額（略）

- (2) 当該水道等共同施設が特定施設である場合において、当該事業の縮小後において、治水関係用途の当該水道等共同施設に係る費用の負担について第二十二条第一項の規定により算出した額（略）が、当該用途に係る投資可能限度額（身代り建設費となつてゐる。事実上、便益はなく、財政限度（国、自治体では直轄負担金）の増額を払えない）を超えるときにおける当該超える額、当該投資可能限度額を超えないときにおける当該超える額を零（以下、略）

19

17

平成21年8月2日

# 松尾直規教授の主張

# 木曽川水系連絡導水路の必要性

1. 気候変動に伴う渇水リスクの増大：自然水の時空間的分布の偏在化と水需要分布のそれとのギャップの増大－ギャップを埋める適切な貯水・水配分施設の整備が必要
2. 名古屋市の水需給の実態：実質的な供給能力の低下、約7割低下の渇水時には余裕なし、約5割低下の異常渇水時には供給不足となり節水率は50%に達する見込み－需に見合う適切な供給能力の確保が必要
3. 渇水被害は深刻かつ多方面：市民生活（上水道）、産業生産（工業用水）、農業生産（農業用水）、地盤沈下、水質悪化、生物への影響など－渇水被害の回避、低減が必要、そのための保険（渇水対策水の確保）が必要
4. 渇水時の水利調整：運命共同体としての木曽川流域圏、3県1市、農業団体が長年にわたり水利調整に努力、既得農業用水の節水は限界状態－利水者間の相互信頼が不可欠、名古屋市の自流水利権も調整対象、取水制限の緩和とダム群の総合運用に、導水路による徳山ダム貯留水の利用が必要
5. 食料自給率の向上、安全・安心な暮らしの実現、経済の活性化、自然と共生し冷暖房の要らない環境都市名古屋の実現：渇水のない水と緑の豊かな生活環境、安定的な産業環境を整備－多様な外的条件の大きな変化に対応できる産業用水、都市用水（環境用水を含む）の確保が必要
6. 代替手段：渇水保険料（水道料金に占める水源費）は妥当な額、撤退すれば保険は無効、新たな導水路の建設、あるいは下水の再利用－には莫大な費用、エネルギー、時間が必要－自然エネルギーを利用する導水路が合理的かつ現実的な選択肢

平成21年8月2日

# 小元利治教授の主張

WATER SCIENCE

No. 4 Vol. 47 2003

水 犁 科 学

No.273 (第47卷 第4号)

## 気候変動と水資源について（Ⅳ）

小 尾 利 治

### 第1編 パターン分類からみた気候変動と水資源（270 号掲載）

### 第2編 気候変動の予測と需水対策（271号掲載）

### 第3編 マトリックス法による流域の水資源分布変動 (272号掲載)

### 第4編 流域における水循環モデルの概要

### 第1章 序論

### 第2章 GISを利用した水循環モデルの概要

### 第3章 水量流出過程のモデル化

### 第4章 水質移流過程のモデル化

### 第5章 実流域での適用と考察

### 第6章 結語

### 第5編 気候変動による水資源への影響算定 (以下次号掲載予定)

### 第4編 流域における水循環モデル

#### 第1章 序論

##### 1.はじめに

気候変動による流域の影響を明らかにするには、流域内のさまざまな土地利用による水量、水質の変動を把握するため、時空間応答を表現できる分布型流出モデルが必要となる。特に、気温上昇や降水量の変化は降雪分布と融雪流出や蒸発散の増加や河川水温の上昇などへの影響を与える。それが起因となって、

### 第2章 GISを利用した水循環モデルの概要

図1は、国土数値情報に基づいたメッシュ型多層流出モデルをベースとした流域内流量および水質の循環系を示したものである。解析対象条件としては、計算期間は1年以上で、1年間を通して平常時、降雨時、洪水時の3つの状況においても、流域内の水環境状況を把握できることを前提とする。本流域水循環モデルは、水量流出過程と水質移流過程から構成されている。前者では、蒸発散過程、水田流出過程、表面流出・土壤内浸透過程、河川流下過程、取水・放水過程に分け、後者は、水温移流過程、汚濁物質移流過程に分けられる。その特徴は以下のとおりである。

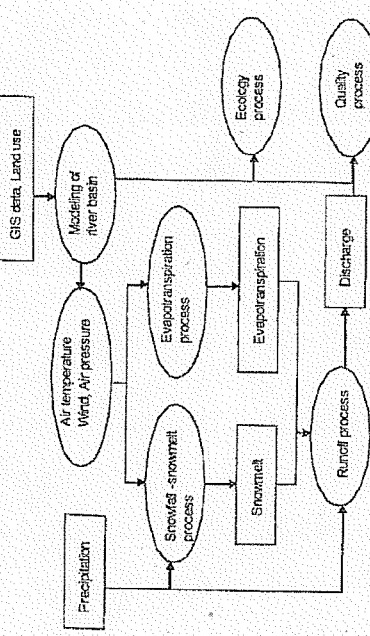


図1 流域内流量および水質の循環系

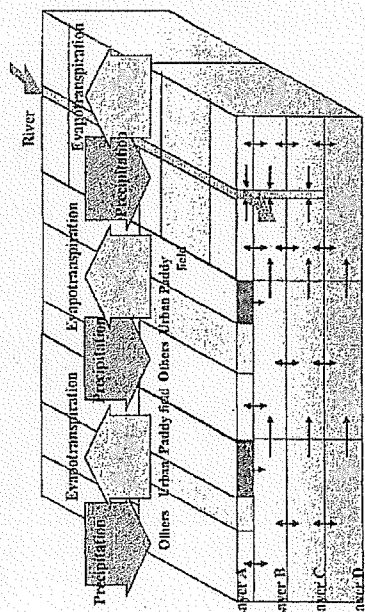


図 2 多層メッシュ型流域モデル

①鉛直方向は A : 地表流, B : 早い中間流, C : 遅い中間流, D : 地下水流, の 4 層を考える(図 2 参照)。また、A ~ C 層の水は流動し最終的には河川には流出しないものとする。

②都市下水は、下水道が普及している地域では分流式下水道により下水処理場に運ばれ処理される。それ以外の地域では、一旦、個別浄化槽に入れ処理した後に雨水と共に下水道に流出させる。

③水田には河川からの灌漑用水が取水され、また、流出する。モデルでは流出を地下浸透・用水路流出・畦越流などとして再現する。さらに、水田における実際の季節による維持灌水深などの操作方策が実現される。

④流域の大気-土壤間の水移動として蒸発散を考える。

⑤河川には下水処理場から処理水が流入し、また、工業用水・上水道用水のための取水が行われる。

⑥流出特性より、土地利用を以下の 5 種類に分類する。

- i) 山地 (分類 1) : 森林・荒地,
- ii) 水田 (分類 2) : 田, 城) 畑
- iii) 建物用地・幹線交通用地
- iv) 都市 (分類 4) : 建物用地・幹線交通用地
- v) 水域 (分類 5) : 内水地・海浜・海水域

⑦各地表メッシュの中で⑥で分類した土地利用の占める割合 (%) を求めモデル計算に組みこむ。ただし、水田 (分類 2) は水を冠水させる灌漑期 (5月15日～10月10日) のみ水田として考慮し、それ以外の時期は畑

地 (分類 3) として取り扱う。

⑧用水路網・下水道網は落水線 (メッシュの最急勾配を繋いだ線) に沿う形で張り巡らされ、最終的に河川へと流入する。

### 第3章 水量流出過程のモデル化

3.1 热収支法による蒸発散と積雪・融雪過程  
蒸発散推定法は、水収支法、微気象学的方法、ならびに直接計測方法がある。ここでは、熱収支式での収束計算で地表面温度を求める。すなわち、

$$R \downarrow = \sigma T_s^4 + H_E + LE \quad (1)$$

$R \downarrow$  : 正味放射量 ( $\text{Wm}^{-2}$ ),  $\sigma$  : ステファンボルツマン定数 ( $5.67 \times 10^{-8} \text{ Wm}^{-2} \text{ K}^{-4}$ ),  $T_s$  : 地表面温度 ( $\text{K}$ ),  $H_E$  : 蒸熱 ( $\text{Wm}^{-2}$ ),  $LE$  : 潜熱 ( $\text{Wm}^{-2}$ )

積雪・融雪過程においても、以下の前提・仮定条件のもとで熱収支法を適用する。

i) 積雪量・融雪量は日単位で求める。

ii) 昇温・融雪・再凍結・冷却過程を考慮する。

iii) 積雪量は单層とする。

iv) メッシュ上の気温は、観測地点、対象メッシュの標高差と気温減率で推定される。

v) メッシュの気圧・空気密度は、測高公式を用いて算定する。

vi) メッシュの風速、降水量は、ティーセン法により推定する。

雪の物理特性には含水量と水を含まない相当水量が考えられ、新雪の含水量、相当水量は以下の式で算定される。

$$WCN = RS \times 0.05 \quad Ta \geq 0^\circ\text{C} \quad (2)$$

$$WCN = 0 \quad Ta < 0^\circ\text{C} \quad (3)$$

$$WCQN = RS - WCN \quad (4)$$

$WCN$  : 新雪の含水量 ( $\text{mm}$ ),  $WCQN$  : 新雪の相当水量 ( $\text{mm}$ ),  $RS$  : 降水量 ( $\text{mm}$ ),  $Ta$  : 大気気温 ( $^\circ\text{C}$ 絶対温度  $K$ から換算)  
また、新雪の雪温  $TSN$  は以下のようになります。

式は次式で示される。

$$T_a \geq 0^\circ C \quad TSN = 0^\circ C \quad (5)$$

$$T_a < 0^\circ C \quad TSN = T_a^\circ C \quad (6)$$

このとき、積雪層全体の含水量、相当水量、雪温は

$$W_C(t) = W_C(t-1) + WGN \quad (7)$$

$$WEQ(t) = WEQ(t-1) + WEQN \quad (8)$$

$$TSS(t) = \frac{(WEQ(t-1) TSS(t-1) + WEQN TSN)}{WEQ(t)} \quad (9)$$

$WC(t)$ ：新雪層の含水量 (mm),  $WEQ(t)$ ：積雪層の相当水量 (mm),  $TSS(t)$ ：積雪層の雪温 ( $^\circ C$ ) となる。融雪熱量は、積雪表面に関与する熱収支によって定式化される。すなわち,

$$QM = R \downarrow - (\sigma TS^4 + H_E + IE + QR + OG) \quad (10)$$

$$QR = C_s \cdot TS \cdot RS \quad (11)$$

$$OG = 1.16 \times 10^{-5} IF \quad (12)$$

$QM$ ：融雪熱量 ( $Wm^{-2}$ ),  $QR$ ：雨熱量 ( $Wm^{-2}$ ),  $OG$ ：野熱量 ( $Wm^{-2}$ ),  $C_s$ ：比熱 ( $cal/g^\circ C$ ),  $IF$ ：水の融解潜熱 ( $Wm^{-2}$ )

融雪量は、昇温過程のとき ( $QM \geq 0$ ), 融雪反定 ( $QM \geq 0$ ), 冷却過程 ( $QM < 0$ ), 再凍結過程 ( $QM < 0$ ),  $WC > 0$ ,  $TSN = 0$ ) , 冷却過程 ( $QM < 0$ ),  $WC = 0$ ,  $TSN < 0$ ) で計算され, 可能保水量を超えた融雪水は地中へと浸透する。

### 3.2 地表面流出過程

山地に降った雨は、蒸発散と浸透と表面流出により大気への還元と河川への流出に分かれる。都市部表面の雨は、表面流として流下し、家庭排水と共に下水道に流入、下水流として河川に流入する。また、水田から流出してきた水も用水路流として河川に運ばれる。ここで、水量追跡方法として採用した kinematic wave 法と綫形貯留法を導入しよう。

kinematic wave 法は、流域をある程度細分化して、それぞれの斜面および河道の初期条件、境界条件、パラメータを与え、雨水下現象を水流の運動法則と連続式の関係を用いて水理学的に追跡するものである。連続式と運動方程

$$\frac{\partial h}{\partial t} + \frac{\partial q}{\partial x} = r(c, t) \quad (13)$$

$$q = ah^m \quad (14)$$

$x$  : 上流端からの距離 (m),  $h$  : 流水深 (m),  $q$  : 単位幅当たりの流量 ( $m/sec$ ),  $r$  : 単位幅当たりの横流入量 ( $m/sec$ ),  $t$  : 時間 ( $sec$ ),  $a$ ,  $m$  : 流れの抵抗則に関する定数

地表面流

$$\alpha = \sqrt{\sin \theta} / n \quad m = 5/3 \quad (15)$$

河道・下水道・用水路流

$$\alpha = \sqrt{\sin \theta} / 2n \quad m = 4/3 \quad (16)$$

$\theta$  : 径面または河道の傾斜角,  $n$  : 粗度係数 ( $m^{-4/3} sec$ )

次に、粗度係数を土地被覆状態により変化させる。すなわち、土地利用ごとに設定した各係数に面積率を乗じることにより算定する。

$$ni = \frac{\sum n_j AE_j}{AE} \quad (17)$$

$ni$  : メッシュ  $i$  の粗度係数 ( $m^{-1/3} sec$ ),  $n_j$  : 土地利用  $j$  の粗度係数 ( $m^{-1/3} sec$ ),  $AE_j$  : 土地利用  $j$  の面積 ( $m^2$ ),  $AE$  : メッシュの面積 ( $m^2$ )

都市、水田以外の土地利用を持つ部分では、降雨は、はじめに地表面に供給される。地表流に對して浸透係数  $k_A$  を用いて、A 層への浸透強度  $q_A$  が決定される。

$$q_A = k_A \cdot h \quad (18)$$

一方、A ~ D 層での流出量は、それぞれ次の線形貯留モデルで算定される。

$$\frac{dS}{dt} = I - O \quad (19)$$

$$O = kS \quad (20)$$

$S$ : 貯留量 (m),  $I$ : 流入強度 (m/sec),  $O$ : 流出強度 (m/sec),  $k$ : 透水係数 (1/h)

### 3.3 水田流出過程

水田の構造はクリップごとに1つのタンク状の水田があるとする。各水田タング内には側方流出孔を2つ設置し、上方を畦畔越流、下方を用水路への落水孔とし、地下浸透を表すために底に底面孔を設けたこととした。下方の側流出孔の高さを維持溝水深と一致させることにより、取水者は維持溝水深を常に維持するという人為的取水操作を表現できるなど、水田に関する水収支の主要な要素を再現できる構造となっている。河川から取水している水田のみを取り、河川上の取水地点から必要な取水量のみを取水するものとする。

水田水収支の基礎式は、次のように表される。

$$Hd = H(u) - H(t) \quad \text{when } H(t) \leq H(u), \text{ otherwise } = 0 \quad (21)$$

$$Hy = \alpha_1 (H(t) - H(u)) \quad \text{when } H(t) \geq H(u), \text{ otherwise } = 0 \quad (22)$$

$$Hex = \alpha_2 (H(t) - Hz) \quad \text{when } H(t) \geq Hz, \text{ otherwise } = 0 \quad (23)$$

$$\frac{dH(t)}{dt} = RS + Hd - Hy - Hex - \beta H(t) - E_{unit} \quad (24)$$

$Hd$ : 取水水深 (mm/sec),  $H(u)$ :  $u$  期の維持溝水深 (mm),  $H(t)$ : 時刻  $t$  での水田水深 (mm),  $Hy$ : 用水路流出高 (mm/sec),  $\alpha_1$ : 下方側流出孔の流出係数 (1/sec),  $\alpha_2$ : 上方側流出孔の流出係数 (1/sec),  $Hex$ : 畦畔越流高出 (mm/sec),  $Hz$ : 畦畔高さ (mm),  $\beta$ : 浸透孔の浸透係数 (1/sec),  $E_{unit}$ : 単位面積・単位時間当たりの蒸発散量 (mm/sec)

地下への浸透係数  $\beta$ , 及び初期維持溝水深  $H(u)$  を以下のように定める。

1) 灌漑期を以下の6期に区分し、各期に既定のベータンで溝水深が維持されるものとする。例えば、

① 苗代期 (5月15日～6月8日), ② 代掘き, 田植え期 (6月9日～6月15日), ③ 生育前期 (6月16日～7月25日), ④ 中干期 (7月26日～8月5日), ⑤ 生育後期 (8月6日～9月30日), ⑥ 落水期 (10月1日～10月10日), で溝水深を変更する。

2) 生育前期の水田日浸透量  $P1$  (mm/sec) が水田の単位面積当たりの取水高  $Hd$  (mm/sec) に相当すると仮定する。生育前期の維持溝水深  $Hu$

(3) (mm) を一律に60 mm とし、生育前期の水田日浸透量と地下水浸透量が等しくなるように、次式により浸透係数  $\beta$  (1/day) を決定する。

$$\beta = Hd/H(3) \quad (25)$$

3) 苗代期の維持溝水深  $H1$  は、日浸透量が 2 mm/day となるよう逆算して求める。

4) この他の期別維持溝水深  $H(2)$ ,  $H(4)$ ,  $H(5)$ ,  $H(6)$  は、次式により算出する。

$$H(2) = 1.2H(3) \quad H(4) = H(3)/4 \quad H(5) = H(3)/2 \quad H(6) = H(3)/2 \quad (26)$$

### 3.4 取水、放水過程

人為的な取水や放水は、河川水質ばかりでなく、水量にも多大な影響を及ぼすものである。近年、水需要が合理化されたことや、人口増加が収まることによって、水需要量は横ばい傾向にあるが、流域の都市化や水田の増減が流域水循環に与える影響を考える場合、取水や放水が与える影響を考慮することは不可欠である。取水要素として、水田への灌漑用が、上水道、工業用水を、放水要素として、下水処理場、用水路、下水道 (雨水管) を取り上げ、モデルに組み込む。上水道、下水処理場については、それぞれ実測データを用い、水田への灌漑用水、用水路に付けては、水田流出過程で求めたものを用いる。

## 第4章 水質移流過程のモデル化

### 4.1 汚濁物質追跡方法

汚濁物の発生源には、工場、家庭などのように排出地點が特定できるものと道路、屋根からの流出のように特定できない場合がある。前者をボイントソース (点源: 特定汚染源), 後者をノンボイントソース (面源: 非特定汚染源) と呼んでいる。ボイントソースには、家庭污水、工場排水、下水処理水、他の人為的排水があり、下水道を通じて污水処理をされた後、公共河川へ放出される。ノンボイントソースには、山林、農業、都市、鉱山、埋立地などが相当するが、雨水排出時の流出負荷と晴天時の汚濁堆積による堆積負荷がある。工場からの煤煙はボイントソースで、それが道路に堆積するヒノンボイントソースになるので、汚染源の特徴とその分析過程で分類されているよ

ある。汚濁負荷は基本的に発生源ごとに発生量も発生の様態も異なるので、原単位法を用いて汚濁負荷を求めることがある。

合併浄化槽、農業下水道を経た汚水は、浄化槽の原単位と取水施設水過程で求めた1人当たりの汚水排出量を用いて排出濃度を算定し、単純淨化槽で求まることは、一般的に尿尿放出量  $Q_{uo}$  が45 l (40~50 l) であるとする。下水道(雨水管)に関しては、都市の表面流と、下水処理場へ運ばれることのない汚水を流すこととなる。前者は流出解析モデルより求め、後者は、以下の手順で求めることができる。

- 1) 流域内の各市町村にある下水処理場への流入水量を処理人口で除し、その値を工業排水を含めた污水排出量として市町村人口に割り当てる。
- 2) ここで求められた値に各メッシュの人口を乗じたものを、そのメッシュからの污水排出量とする。
- 3) その値のうち、(1)ーそのメッシュが属する市町村の下水道普及率)の割合は下水道(雨水管)を通して河川に排出される汚水量とする。

汚濁物質発生の基礎式として、以下を用いる<sup>2)</sup>。

$$C_{com} = \frac{L_{pcom}}{Q_{new}} \quad (27)$$

$$C_{ag} = \frac{L_{pag}}{Q_{new}} \quad (28)$$

$$C_{dis} = \frac{L_{pdis}}{Q_{new}} + \frac{(C_{dis}Q_{new} - C_{new}Q_{in})}{Q_{new}} \quad (29)$$

$C_{com}$  : 合併浄化槽放出濃度 (mg/m<sup>3</sup>) ,  $L_{pcom}$  : 合併浄化槽原単位 (mg/day·Person),  $Q_{new}$  : 1人1日当たりの汚水放出量 (m<sup>3</sup>/day·person),  $C_{ag}$  : 農業下水道放出濃度 (mg/m<sup>3</sup>),  $L_{pag}$  : 農業下水道原単位 (mg/day·person),  $C_{new}$  : 単純浄化槽放出濃度 (mg/m<sup>3</sup>),  $L_{pdis}$  : 単純浄化槽原単位 (mg/day·person),

$C_{dis}$  : 下水処理場流入濃度 (mg/m<sup>3</sup>),  $C_{new}$  : 単純浄化槽流入濃度 (mg/m<sup>3</sup>),

$Q_{in}$  : 1人1日当たりの尿尿放出量 (0.045 m<sup>3</sup>) 面源としては、土地利用毎に原単位を土地利用の面積率で求めめる。

$$L_{np} = \frac{\sum L_{npj} dE_j}{AE} \quad (30)$$

$L_{np}$  : 面源由来の汚濁物質負荷投入原単位 (mg/m<sup>2</sup> day),  $L_{npj}$  : 土地利用  $j$  の面源由来の汚濁物質負荷投入原単位 (mg/m<sup>2</sup> day)  
面源由來の堆積物の掃流量  $L_{swp}$  (mg/hour) は、 $Q_h$  の2乗に比例するものとして、

$$L_{swp} = k_{np} p_h Q_h^2 A \quad (31)$$

$Q_h$  : 水平流出高 (m/hour),  $k_{np}$  : 面源由來の掃流係数 (h/m<sup>2</sup>),  $p_h$  : 面源由來の堆積汚漏荷物質量 (mg/m<sup>2</sup>)  
堆積物が掃流すると、隣接する媒体に供給されるものとする。また、地下水層よりからの流出負荷量  $L_y$  out (mg/hour) と層  $y-1$  から  $y$  への流入負荷量  $L_y$  in (mg/hour) は、

$$L_y out = \sum C_y Q_{out AE} \quad (32)$$

$$L_y in = \sum (C_{y-1} Q_{in AE} + L_{swp_j}) \quad (33)$$

$C_y$  :  $y$  の汚濁物質濃度 (mg/m<sup>3</sup>),  $Q_{out}$  :  $y$  からの流出高 (m/hour),  $Q_{in}$  :  $y-1$  からの流出高 (m/hour)  
となる。結局、堆積掃流過程は以下のようになる。  
溶存態

$$A \frac{dC_y S_p}{dt} = C_{np} R.SAE - \gamma 1 C_{np} S_p A E + \gamma 2 P_{np} A E + L_{yin} - L_{yout} \quad (34)$$

堆積態  
 $A \frac{dP_{np}}{dt} = L_{np} - \gamma_{day} P_{np} A E + \gamma 1 C_{np} S_p A E - \gamma 2 P_{np} A E - k_{np} p_h Q_h^2 A E \quad (35)$

ただし、汚濁負荷物質放出は、地表面、都市、水田のみとする。また、河川下水処理場からの排出地点に当たる場所では、 $L_y$  in に下水処理場から出でくる汚濁物質排出量も含む。

また、地下層 (A～D層) も以下のように定式化される。

溶存態

$$AE \frac{dP_{yS}S_{yMAX}}{dt} = L_{yin} - L_{yon} - r_y \left( C_{yS} - r \frac{P_y + P_{yo}}{P_{yo}} S_{yMAX} \right) AE \quad (36)$$

堆積態

$$AE \frac{dP_{ySS}S_{yMAX}}{dt} = r_y \left( C_{yS} - r \frac{P_y + P_{yo}}{P_{yo}} S_{yMAX} \right) AE - r_{dp} P_{ySS} S_{yMAX} \quad (37)$$

$S_y$ :  $y$  層の貯水位 (m),  $C_{yS}$ : 雨滴中の汚濁負荷物質濃度 ( $\text{mg/m}^3$ ),  $r_1$ : 吸着速度係数 (1/hour),  $r_2$ : 脱着・可溶化平衡係数 (1/hour),  $r_{dp}$ : 点源由来の汚濁負荷物質の減衰係数 (1/hour),  $r_{dp}$ : 面源由来の汚濁負荷物質の減衰係数 (1/hour),  $P_y$ : 汚濁負荷物質堆積負荷量 ( $\text{mg/m}^2$ ),  $r \left( \frac{P_y + P_{yo}}{P_{yo}} \right)$ :  $y$  層の吸着平衡係数 ( $1/\text{m}$ ),  $S_{yMAX}$ :  $y$  層の最大貯留量 (m),  $r_{dp}$ :  $y$  層の減衰係数 (1/hour)

水域に流入した有機物質 (本研究では COD, BOD をその指標とする) は、生物学的分解、沈殿、吸着などの作用により減少していくが、この減少速度係数を自浄係数  $K_r$  (1/day) といい、次のように表すことができる。

$$\frac{\partial C}{\partial t} = -k_r \cdot C \quad (38)$$

$K_r$  は河川の状況、汚濁源の状況によって大きく変化し、0.05～1.0 (1/day) の範囲のものが実測されている。河川水中での有機物質の減少は生物学的な分解など有機物質の減少に応じて水中の DO (溶解酸素) を消費するものと、沈殿など DO を消費しないものに分けられる。

#### 4.2 水温移流過程

地中温度の変化は、ある深さに達すると、1年中ほとんど変化しなくなる。この層を恒温層といいう。日本での恒温層深度は、12 m～14 m であることが知られているが、D 層の深さを約15 m とすると、最深部の地温は一定となることができる。地中水温は地中温度と等しいものとすると、深さ  $z$  (m) なる点

での地中温度  $\Phi_g$  は、

$$\Phi_g(z, t) = \overline{\Phi}_0 + \Delta_e^{-z} \sqrt{\frac{\pi}{STF}} \sin \left( \frac{2\pi}{TF} t - z \sqrt{\frac{\pi}{STF}} \right) \quad (39)$$

$\overline{\Phi}_0$ : 年平均気温 (°C),  $TF$ : 周期 (365日),  $\Delta_e$ : 地中での熱の拡散率 ( $0.04 \text{ m}^2/\text{day}$ )

$\Delta_e$  は、蒸発過程で算定された地表面温度  $T_s$  の時系列変化を SIN カーブに近似したときの振幅で、グリッドごとに数値が与えられる。そこで、各層から流出する地下水温は、得られる地中温度に等しいとする。

都市から流出して下水道 (雨水管) に流入する水は、非常に流出速度が速くあまり外界からの影響を受けないため、降雨温度と等しいとする。一方、下水道 (污水管) のうち、下水処理場でなく、淨化槽を経て直接河川へ流入するもの、つまり、家庭排水のうち (1 下水道普及率) 分の水温は、各市町村の下水処理場への流入水の温度と等しいものとする。また、降雨温度は一般的に温球温度に等しいとする。污水のうち、下水処理場を経て、河川に流入するものは、それぞれの下水処理場の実測放流水温を用いる。

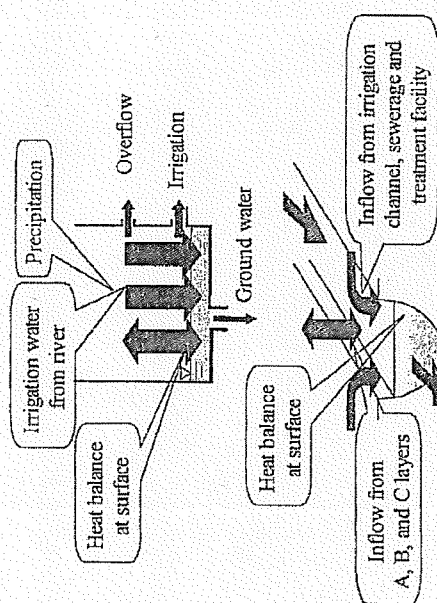
水田における熱収支の要素として、降雨、大気、河川からの灌漑用水がある。(図 3 参照)。水面での大気との熱収支は、蒸発過程で述べた手法を応用して水面熱収支式で算定する<sup>3)</sup>。

$$H0 = R \downarrow - H - IE = (1 - ref) S \downarrow + L \downarrow - H - IE - \sigma \Phi_s^4 \quad (40)$$

$H0$ : 単位面積当たりの水面熱収支量 ( $\text{cal}/(\text{m}^2 \text{ sec})$ ),  $S \downarrow$ : 全天日射量 ( $\text{W m}^{-2}$ ),  $L \downarrow$ : 長波放射量 ( $\text{W m}^{-2}$ ),  $\Phi_s$ : 水田水温 (°K) また、河川からの灌漑用水温度は、取水地点の河川温度を用いる。つまり、灌漑用水が取水地点から水田に至る間の熱収支は無視できると見なす。すると、河川水温度の推定過程の基礎式は以下のようになる。

$$C_{e0} \partial H_{ave} \left( \frac{\partial \Phi_{iv}}{\partial t} \right) = H0 + \frac{C_{e0} \rho}{AE} \sum_i q_i (\Phi_i - \Phi_{iv}) \quad (41)$$

$\rho$ : 密度 ( $\times 10^6 \text{ g/m}^3$ ),  $H_{ave}$ : 平均水深 (m),  $\Phi_{iv}$ : 河川水温 (°C),  $H0$ : 単位面積当たりの水面熱収支量 ( $\text{cal}/(\text{m}^2 \text{ sec})$ ,  $q_i$ : 流入量 ( $\text{m}^3/\text{sec}$ ),  $\Phi_i$ : 流入水温 (°C)



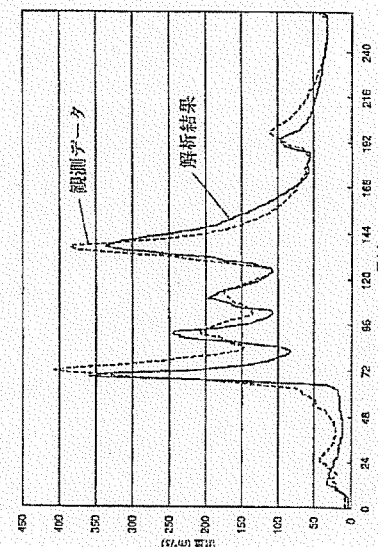
四三 通川本田空少輔の過程

ここで、右辺第2項の流入要素としては、土壤浸透(A～C層)表面流、下水道、用水路、下水処理場が挙げられる。土壤浸透水温については、その位置に流入するグリッドの地中水について地中水温度推定過程で求めた水温を層ごとに平均した値を用いる。

メッシュ化された流域と河道庄内川網を図4に示す。1 km のメッシュで構成され、河道網や各種水利用地点を記してある。

図5は、ある洪水での河川流量の出力例で、流域最下流地点での観測値との比較結果である。10分単位で通年での解析のあと、洪水流量を比較するために特定の個所を取り出したものである。高水、低水を連続して計算し常に土壤水分を求めており、個別の洪水時の初期水分量を考慮する必要はなく、水文学的

図 6 は、同洪水における流域内と河川での水分を表したものである。低水時の比較結果である。10分単位で通年の解析のあと、洪水流量を比較するために特定の個所を取り出したものである。高水、低水を連続して計算し常に土壤水分を求めており、個別の洪水時の初期水分量を考慮する必要はなく、水文学的に流域状態の連續性を確保できる。



圖五 滴水坑における河床堆積物の分布

密集地域や污水处理場近くでの高濃度が把握できているとともに、水質悪化地

図 8 も、同じく河川水温の時空間表示である。2月と8月の平均値を示したが、季前的な水温変動による水生生態への影響を想換できる。今後、リアルタイムでの水質情報による汚染源の特定化や河川水深・幅もたらす水生物の生存特性、および酸性雨などの大気汚染指標のモデル化を図り、詳細な流域環境

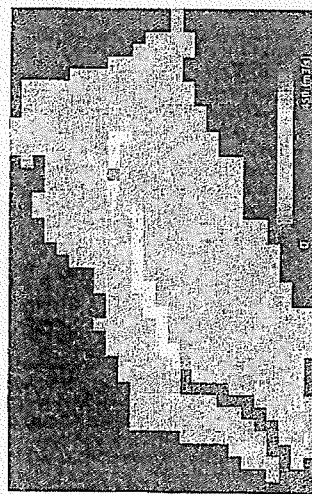


図 6 河川流量の空間分布

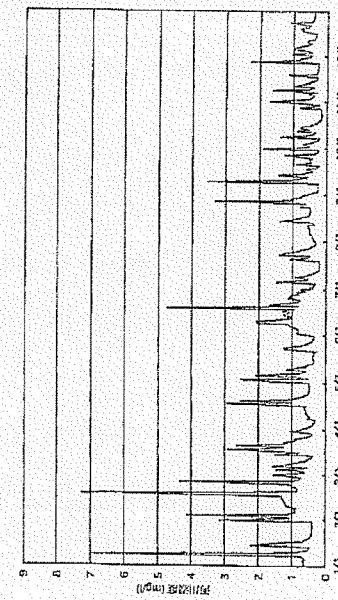
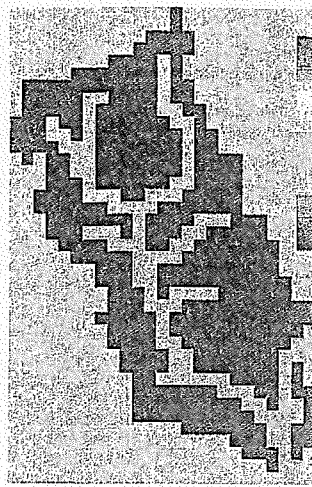


図 7 河川内最下流地点でのBOD濃度

評価を行なう必要がある。こうした解析出力の時空間的連続性は、流域内の危険地域の把握が容易になり、総合流域管理における施設の配置・規模決定への重要な指標となろう。

地球温暖化の影響評価を検討するため、気温 2 度上昇の場合の水温変化を求めた。日照時間、降水量、土地利用などは変化せず、蒸発散や流出、水利用過程での熱収支だけの変動である。表 1 は、河川系での代表的地点での結果である。積雪・融雪は仮想しているはずであるが、対象流域では、あまり現れていないかった。地表面では、8 月など、光波長の影響が大きい期間で毎年 2 度程度



(a) 2月の水温

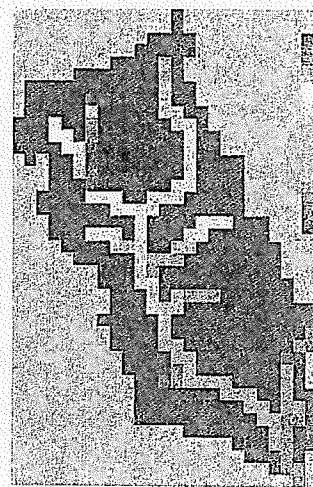
(b) 8月の水温  
図 8 河川水温の空間分布

表 1 溫度化シナリオの下での影響評価

	Present average (°C)	Climate change (°C)	Changed volume (°C)
Surface	17.92	18.30	+ 1.32
Precipitation	11.66	12.52	+ 0.85
Paddy field	22.02	19.95	- 2.07
River discharge			
at Toki	16.67	17.54	+ 0.87
at Tajimi	16.48	17.27	+ 0.79
at Shidami	16.21	16.83	+ 0.62

の変化が見られた。体感温度や植生への影響を考えると大きな値である。降水の温度は地表気温と同じとしているので全期間にわたって若干増加しているが、水田、河川での水温は影響が小さく、潜熱の作用で却って低下しているようである。

#### 第6章 結語

本稿では、分布型流出モデルの定式化と適用を行い、シミュレーションを通じて温暖化の影響評価を行った。入力条件がシナリオで限定されていることや考慮すべき影響要素全体を含んでいないなどの問題点が残っている。水文、気象データに関するより精度の高い情報が望まれることも、流域への影響に対する経済効果、社会活動などの評価を行い、対策を検討する必要がある。今後、GCM（大気大循環モデル）の出力との相関関係を考慮した地球規模での影響評価モデルを開発していく予定だ。

#### 参考文献

- 1) 小原利治・東施明宏・木場陽一：シミュレーションモデルでの流域環境評価手法の開発、京都大学防災研究所年報、第41号B-2、1998、119-134.
- 2) 国松孝男・村岡浩輔：河川汚濁のモデル解析、技報堂出版、1990、166-171.
- 3) 新井 正・西沢利栄：水文学講座10 水温論、共立出版、

(京都大学防災研究所水資源研究センター・教授・工学博士)

## 木曽川水系連絡導水路事業公開討論会 ご意見記入用紙

本日は、木曽川水系連絡導水路事業公開討論会にご参加いただきまして、誠にありがとうございました。

さて、本日の公開討論会に参加された皆さま方のご意見を今後の参考とさせていただきたく、下記にご回答をよろしくお願ひいたします。

### 記

1 本日の公開討論会に参加して、木曽川水系連絡導水路事業について理解は深まりましたか。当てはまるものに一つ○を付してください。

- ①よく理解できた                  ②まあまあ理解できた  
③あまり理解できなかった      ④全く理解できなかった

2 ご自由にご意見・ご感想をお書きください。

お帰りの際、ホールの出口にあります回収箱にお入れください。  
ご協力ありがとうございました。

2009.8.2 木曽川水系連絡導水路事業公開討論会